

А. Т. ДУЛЬЦЕВ

## ТОЧНОСТЬ ОПРЕДЕЛЕНИЯ РЕДУКЦИОННОЙ ПОСТАННОЙ $h_0$

Для вычисления редукционной постоянной  $h_0$  формулы Н. К. Мигеля, определяющей отступления геоида от референц-эллипсоида [5], ранее были предложены такие уравнения [1]:

$$\begin{aligned} h_0^B &= \frac{1}{Q_n^B} (\Phi_n + u_n - \bar{\Phi}_n - T_n^B), \\ h_0^L &= -\frac{1}{Q_n^L} (\lambda_n + v_n \operatorname{sc} \Phi_n - \bar{\lambda}_n - T_n^L), \\ h_0^A &= \frac{1}{Q_{nm}^A} (\alpha_{nm} + v_n \operatorname{tg} \Phi_n - \bar{\alpha}_{nm} - T_{nm}^A). \end{aligned} \quad (1)$$

Верхние индексы  $B$ ,  $L$  и  $A$  в (1) показывают, к какому из этих трех уравнений — широтному, долготному или азимутальному относится данная величина. Через  $\Phi_n$  и  $\lambda_n$  обозначены астрономические широта и долгота, измеренные в конечном пункте  $n$  (см. рисунок) звена или ряда триангуляции, по материалам которого находится  $h_0$ ;  $\alpha_{nm}$  — астрономический азимут, измеренный в  $n$  на предыдущий пункт  $m$ ;  $\Phi_n$ ,  $\lambda_n$  и  $\alpha_{nm}$  — значения координат пункта  $n$  и азимута направления  $nm$ , полученные передачей от начального пункта  $b$  по ходовой линии  $bcd\dots mn$ ;  $u_n$  и  $v_n$  — составляющие уклонения отвеса в пункте  $n$  соответственно в направлении меридиана и первого вертикала, причем

$$\begin{aligned} u_n &= -\xi_n - m_1 \sin 2\Phi_n - m_2 \sin 4\Phi_n; \\ v_n &= -\eta_n, \end{aligned} \quad (2)$$

где  $m_1$  и  $m_2$  являются известными постоянными, а  $\xi$  и  $\eta$  — гравиметрические части составляющих уклонения отвеса, определяемые по формулам Венинг—Мейнса.

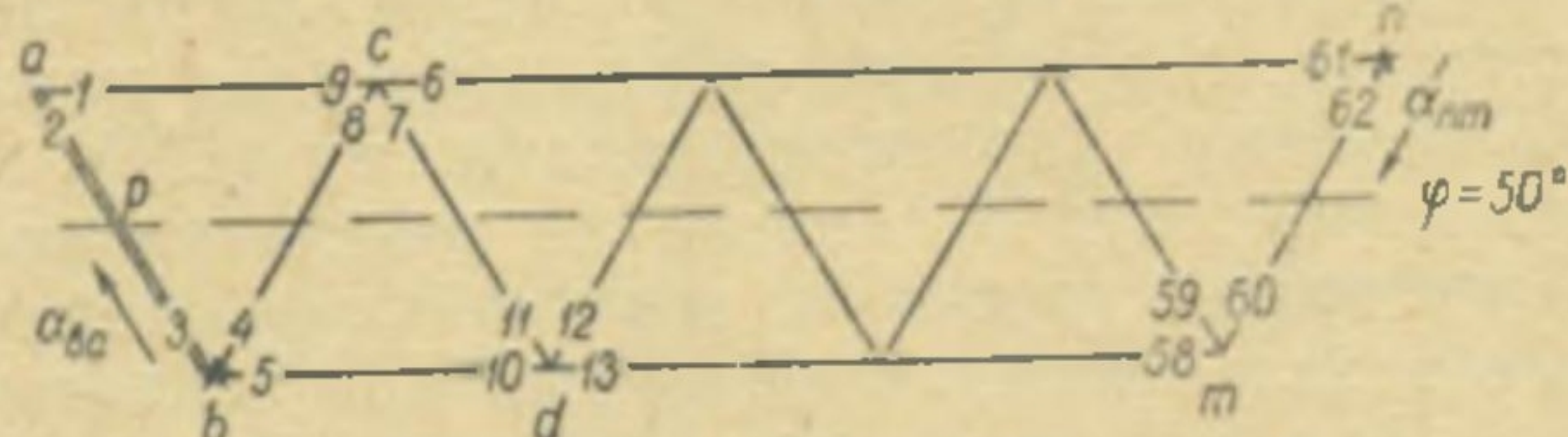


Схема звена астрономо-геодезической сети.

Величины  $Q$ , фигурирующие в (1), выражаются следующими формулами:

$$\begin{aligned} Q_m^B &= p_1^{mn} Q_m^B + p_3^{mn} w_{mn} + p_4^{mn} Q_{mn}^A, \\ Q_m^L &= q_1^{mn} Q_m^B + q_3^{mn} w_{mn} + q_4^{mn} Q_{mn}^A + Q_{mn}^L, \\ Q_{mn}^A &= r_1^{mn} Q_m^B + r_3^{mn} w_{mn} + r_4^{mn} Q_{mn}^A. \end{aligned} \quad (3)$$

При этом

$$Q_{mn}^A = Q_{m, m-1}^A \pm (D_{mn} - D_{m, m-1}), \quad (4)$$

$p$ ,  $q$  и  $r$  — коэффициенты дифференциальных формул первого рода, величины  $w$  и  $D$  для ряда триангуляции, состоящего из равноугольных треугольников (именно такой случай рассмотрен ниже) будут равны

$$w_{mn} = -\frac{p_{mn}}{R}, \quad (5)$$

$$D_{ik} = 1 \cdot 10^{-4} \cos^2 \Phi_k \sin 2\alpha_{ik}. \quad (6)$$

Здесь  $p_{mn}$  — сторона триангуляции между пунктами  $m$  и  $n$ ;  $R$  — радиус кривизны нормального сечения поверхности референц-эллипсоида в направлении базисной стороны, а индексы  $i$  и  $k$  обозначают определяемый и наблюдаемый пункты.

Для получения величин  $T$  уравнений (1) надо в (3) и (4) вместо  $Q$  с соответствующими знаками подставить  $T$ , а вместо  $w$  и  $D$  ввести соответственно  $l$  и  $L$ , причем

$$l_{mn} = w_{mn} [N_e + K(\Phi_e)], \quad (7)$$

$$L_{ik} = D_{ik} [N_k + K(\Phi_k)]. \quad (8)$$

В этих формулах  $N$  — высота геоида над референц-эллипсоидом, вычисляемая по формуле Стокса; индекс  $e$  показывает, что берутся средние для базисной стороны значения данных величин; член  $K(\Phi)$  следующим образом связан с большой полуосью  $a$  референц-эллипса:

$$K(\Phi) = am_1 \sin^2 \Phi + \frac{1}{2} am_2 \sin^2 2\Phi. \quad (9)$$

В работе [3] выяснено, что из рядов астрономо-геодезической сети, направленных вдоль меридианов,  $h_0$  может быть определено только по первому уравнению, входящему в (1). По второму уравнению можно определить  $h_0$  только из рядов, расположенных вдоль параллели. Хотя третье уравнение является зависимым от второго, рассмотрение его в дальнейшем необходимо при исследовании двух первых.

При составлении уравнений (1) были использованы следующие измеренные величины: астрономические координаты  $\Phi$ ,  $\lambda$ , азимут  $a$  и составляющие уклонения отвеса  $\xi$  и  $\eta$  в начальном  $b$  и конечном  $n$  пунктах триангуляционного ряда; базисная сторона  $p$ ; направления  $\beta_i$ ; и высоты  $N_i$  геоида во всех пунктах. Следовательно, средняя квадратическая ошибка  $M_h$  вычисления  $h_0$  по каждому уравнению (1) будет

$$\begin{aligned} M_h^2 &= \left( \frac{\partial h_0}{\partial \Phi_b} \right)^2 m_\varphi^2 + \left( \frac{\partial h_0}{\partial \lambda_b} \right)^2 m_\lambda^2 + \left( \frac{\partial h_0}{\partial \alpha_{ba}} \right)^2 m_a^2 + \left( \frac{\partial h_0}{\partial \Phi_n} \right)^2 m_\varphi^2 + \left( \frac{\partial h_0}{\partial \lambda_n} \right)^2 m_\lambda^2 + \\ &+ \left( \frac{\partial h_0}{\partial \alpha_{nm}} \right)^2 m_a^2 + \left( \frac{\partial h_0}{\partial \xi_b} \right)^2 m_\xi^2 + \left( \frac{\partial h_0}{\partial \eta_b} \right)^2 m_\eta^2 + \left( \frac{\partial h_0}{\partial \xi_n} \right)^2 m_\xi^2 + \left( \frac{\partial h_0}{\partial \eta_n} \right)^2 m_\eta^2 + \\ &+ \left( \frac{\partial h_0}{\partial p} \right)^2 m_p^2 + \Sigma \left( \frac{\partial h_0}{\partial \beta_i} \right)^2 m_\beta^2 + \Sigma \left( \frac{\partial h_0}{\partial N_i} \right)^2 m_N^2, \end{aligned} \quad (10)$$

где средние квадратические ошибки  $m$  измеренных величин имеют следующие значения:

$$\begin{aligned} m_{\varphi} &= \pm 0'',5; \quad m_{\xi} = \pm 1'',5; \quad m_{\beta} = \pm 0'',7, \\ m_{\lambda} &= \pm 0,5; \quad m_{\gamma} = \pm 1,5; \quad m_N = \pm 3 \text{ м}, \\ m_a &= \pm 0,7; \quad m_p = \pm \frac{1}{400000} p = \pm 0,075 \text{ м} \text{ (при } p=30 \text{ км).} \end{aligned} \quad (11)$$

Подсчитаем, с какой точностью можно определить  $h_0$  из отдельного звена астрономо-геодезической сети, построенного из 15 правильных треугольников со сторонами, равными 30 км. При этом рассмотрим два случая расположения звена: вдоль параллели с широтой  $\varphi=50^\circ$  и вдоль меридиана между параллелями  $49^\circ$  и  $51^\circ$ .

Коэффициенты  $p$ ,  $q$  и  $r$  будем определять по известным формулам [4], в которых сделаем следующие упрощения: 1) широты всех пунктов звена примем равными  $\sim 50^\circ$ ; 2)  $\rho''/M \approx \rho''/N \approx 0,03$ ; 3) так как  $l < 0^\circ,5$ , то  $\cos l \approx 1$  и  $\sin l \approx 0,01$ .

Тогда

$$\begin{aligned} p_1^{mn} &= 1, & q_1^{mn} &= 0,01, & r_1^{mn} &= 0,02; \\ p_3^{mn} &= -0,03 \cos A_{nm}, & q_3^{mn} &= -0,05 \sin A_{nm}, & r_3^{mn} &= -0,04 \sin A_{nm}; \\ p_4^{mn} &= -0,01, & q_4^{mn} &= -0,01 \frac{\cos A_{nm}}{\sin A_{nm}}, & r_4^{mn} &= 1. \end{aligned} \quad (12)$$

Для вычисления  $M_h$  необходимо найти значения частных производных, фигурирующих в (10). Обозначив любую измеренную величину через  $x$ , из (1) имеем

$$\begin{aligned} \frac{\partial h_0^B}{\partial x} &= \frac{1}{Q_n^B} \left( \frac{\partial \Phi_n}{\partial x} + \frac{\partial u_n}{\partial x} - \frac{\partial \bar{\Phi}_n}{\partial x} - \frac{\partial T_n^B}{\partial x} - h_0 \frac{\partial Q_n^B}{\partial x} \right), \\ \frac{\partial h_0^L}{\partial x} &= \frac{1}{Q_n^L} \left( \frac{\partial \lambda_n}{\partial x} + \frac{\partial v_n}{\partial x} \operatorname{sc} \Phi_n + v_n \operatorname{tg} \Phi_n \operatorname{sc} \Phi_n \frac{\partial \Phi_n}{\partial x} - \frac{\partial \bar{\lambda}_n}{\partial x} - \frac{\partial T_n^L}{\partial x} - h_0 \frac{\partial Q_n^L}{\partial x} \right), \\ \frac{\partial h_0^A}{\partial x} &= \frac{1}{Q_{nm}^A} \left( \frac{\partial \alpha_{nm}}{\partial x} + \frac{\partial v_n}{\partial x} \operatorname{tg} \Phi_n + v_n \operatorname{sc}^2 \Phi_n \frac{\partial \Phi_n}{\partial x} - \frac{\partial \bar{\alpha}_{nm}}{\partial x} - \frac{\partial T_{nm}^A}{\partial x} - h_0 \frac{\partial Q_{nm}^A}{\partial x} \right). \end{aligned} \quad (13)$$

Координаты  $\Phi_n$ ,  $\lambda_n$  и азимут  $\alpha_{nm}$  получены, как уже отмечалось, из решений прямых задач по ходовой линии  $bcd \dots mn$ . Они являются функциями только астрономических координат  $\Phi_b$ ,  $\lambda_b$  и азимута  $\alpha_{ba}$ , базисной стороны  $p$  и измеренных в звене направлений  $\beta_i$ . Следовательно, при  $x=\xi_b$ ,  $\eta_b$ ,  $\Phi_n$ ,  $\lambda_n$ ,  $\alpha_{nm}$ ,  $\xi_n$ ,  $\eta_n$ ,  $N_i$

$$\frac{\partial \bar{\Phi}_n}{\partial x} = 0; \quad \frac{\partial \bar{\lambda}_n}{\partial x} = 0; \quad \frac{\partial \bar{\alpha}_{nm}}{\partial x} = 0. \quad (14)$$

**Вычисление производных  $\frac{\partial \bar{\Phi}_n}{\partial \Phi_b}$ ,  $\frac{\partial \bar{\lambda}_n}{\partial \Phi_b}$  и  $\frac{\partial \bar{\alpha}_{nm}}{\partial \Phi_b}$**

Предположим, что нам известны точные значения всех измеренных величин, за исключением широты  $\Phi_b$  начального пункта, которую запишем следующим образом:

$$\Phi_b = \Phi_b' + d\Phi_b,$$

где  $d\Phi_b$  — некоторая поправка в измеренное значение  $\Phi_b$  широты пункта  $b$ . Пусть координаты всех пунктов звена вычислены по широте  $\Phi_b$ . Тогда в координаты пунктов надо ввести поправки, определяемые дифференциальными формулами. Так, для пункта  $c$  будет

$$\begin{aligned} d\Phi_c &= p_1^{bc} d\Phi_b, \\ d\lambda_c &= q_1^{bc} d\Phi_b, \\ d\alpha_{cb} &= r_1^{bc} d\Phi_b, \end{aligned} \quad (15)$$

то есть

$$\frac{d\Phi_c}{d\Phi_b} = p_1^{bc}, \quad \frac{d\lambda_c}{d\Phi_b} = q_1^{bc}, \quad \frac{d\alpha_{cb}}{d\Phi_b} = r_1^{bc}. \quad (16)$$

Для пункта  $d$  имеем

$$\begin{aligned} d\Phi_d &= p_1^{cd} d\Phi_c + p_4^{cd} d\alpha_{cd}, \\ d\lambda_d &= q_1^{cd} d\Phi_c + q_4^{cd} d\alpha_{cd} + d\lambda_c, \\ d\alpha_{dc} &= r_1^{cd} d\Phi_c + r_4^{cd} d\alpha_{cd}. \end{aligned} \quad (17)$$

Как видно из рисунка,

$$\alpha_{cd} = \alpha_{cb} - (8-7).$$

Или

$$\alpha_{cd} = \alpha'_{cd} + d\alpha_{cd},$$

где

$$\alpha'_{cd} = \alpha'_{cb} - (8-7)$$

и

$$d\alpha_{cd} = d\alpha_{cb}. \quad (18)$$

Подставляя (18) и (15) в выражения (17), получим

$$\begin{aligned} d\Phi_d &= p_1^{cd} p_1^{bc} d\Phi_b + p_4^{cd} r_1^{bc} d\Phi_b, \\ d\lambda_d &= q_1^{cd} p_1^{bc} d\Phi_b + q_4^{cd} r_1^{bc} d\Phi_b + q_1^{bc} d\Phi_b, \\ d\alpha_{dc} &= r_1^{cd} p_1^{bc} d\Phi_b + r_4^{cd} r_1^{bc} d\Phi_b. \end{aligned}$$

Из этих формул, принимая во внимание (16), можем записать

$$\begin{aligned} \frac{d\Phi_d}{d\Phi_b} &= p_1^{cd} \frac{d\Phi_c}{d\Phi_b} + p_4^{cd} \frac{d\alpha_{cb}}{d\Phi_b}, \\ \frac{d\lambda_d}{d\Phi_b} &= q_1^{cd} \frac{d\Phi_c}{d\Phi_b} + q_4^{cd} \frac{d\alpha_{cb}}{d\Phi_b} + \frac{d\lambda_c}{d\Phi_b}, \\ \frac{d\alpha_{dc}}{d\Phi_b} &= r_1^{cd} \frac{d\Phi_c}{d\Phi_b} + r_4^{cd} \frac{d\alpha_{cb}}{d\Phi_b}. \end{aligned} \quad (19)$$

Аналогичным образом можем найти производные и для всех последующих пунктов. Переходя к принятым ранее обозначениям, для пункта  $n$  будем иметь

$$\begin{aligned} \frac{\partial \bar{\Phi}_n}{\partial \Phi_b} &= p_1^{mn} \frac{\partial \bar{\Phi}_m}{\partial \Phi_b} + p_4^{mn} \frac{\partial \bar{\alpha}_{m,m-1}}{\partial \Phi_b}, \\ \frac{\partial \bar{\lambda}_n}{\partial \Phi_b} &= q_1^{mn} \frac{\partial \bar{\Phi}_m}{\partial \Phi_b} + q_4^{mn} \frac{\partial \bar{\alpha}_{m,m-1}}{\partial \Phi_b} + \frac{\partial \bar{\lambda}_m}{\partial \Phi_b}, \\ \frac{\partial \bar{\alpha}_{nm}}{\partial \Phi_b} &= r_1^{mn} \frac{\partial \bar{\Phi}_m}{\partial \Phi_b} + r_4^{mn} \frac{\partial \bar{\alpha}_{m,m-1}}{\partial \Phi_b}. \end{aligned} \quad (20)$$

**Вычисление производных**  $\frac{\partial \bar{\Phi}_n}{\partial \lambda_b}$ ,  $\frac{\partial \bar{\lambda}_n}{\partial \lambda_b}$  и  $\frac{\partial \bar{a}_{nm}}{\partial \lambda_b}$

Пусть астрономическая долгота пункта  $b$  ошибочна на  $d\lambda_b$ . Как известно, ошибка в долготе не влияет на вычисление широты и азимута в последующих пунктах. А долготы всех пунктов будут ошибочны на ту же величину, что и долгота начального, то есть

$$d\lambda_b = d\lambda_c = d\lambda_d = \dots = d\lambda_n.$$

Следовательно,

$$\frac{d\bar{\Phi}_n}{\partial \lambda_b} = 0; \quad \frac{\partial \bar{\lambda}_n}{\partial \lambda_b} = 1; \quad \frac{\partial \bar{a}_{nm}}{\partial \lambda_b} = 0. \quad (21)$$

**Вычисление производных**  $\frac{\partial \bar{\Phi}_n}{\partial a_{ba}}$ ,  $\frac{\partial \bar{\lambda}_n}{\partial a_{ba}}$  и  $\frac{\partial \bar{a}_{nm}}{\partial a_{ba}}$

Считая астрономический азимут  $a_{ba}$  начального направления ошибочным на  $da_{ba}$ , а остальные измеренные величины точными, и, рассуждая как при нахождении производных по широте  $\phi$ , получаем следующие формулы:

$$\begin{aligned} \frac{\partial \bar{\Phi}_n}{\partial a_{ba}} &= p_1^{mn} \frac{\partial \bar{\Phi}_m}{\partial a_{ba}} + p_4^{mn} \frac{\partial \bar{a}_{m, m-1}}{\partial a_{ba}}, \\ \frac{\partial \bar{\lambda}_n}{\partial a_{ba}} &= q_1^{mn} \frac{\partial \bar{\Phi}_m}{\partial a_{ba}} + q_4^{mn} \frac{\partial \bar{a}_{m, m-1}}{\partial a_{ba}} + \frac{\partial \bar{\lambda}_m}{\partial a_{ba}}, \\ \frac{\partial \bar{a}_{nm}}{\partial a_{ba}} &= r_1^{mn} \frac{\partial \bar{\Phi}_m}{\partial a_{ba}} + r_4^{mn} \frac{\partial \bar{a}_{m, m-1}}{\partial a_{ba}}. \end{aligned} \quad (22)$$

**Вычисление производных**  $\frac{\partial \bar{\Phi}_n}{\partial p}$ ,  $\frac{\partial \bar{\lambda}_n}{\partial p}$  и  $\frac{\partial \bar{a}_{mn}}{\partial p}$

Предположим, что измеренная в звене базисная сторона  $p$  оказалась неточной на величину  $dp$ . Так как мы рассматриваем звено, состоящее из правильных треугольников, то значения всех сторон окажутся ошибочными тоже на величину  $dp$ . При безошибочности всех других измерений поправки к координатам пункта  $c$  будут:

$$\begin{aligned} d\Phi_c &= p_3^{bc} dp, \\ d\lambda_c &= q_3^{bc} dp, \\ da_{cb} &= r_3^{bc} dp, \end{aligned} \quad (23)$$

то есть

$$\frac{d\Phi_c}{dp} = p_3^{bc}; \quad \frac{d\lambda_c}{dp} = q_3^{bc}; \quad \frac{da_{cb}}{dp} = r_3^{bc}. \quad (24)$$

Поправки к координатам пункта  $d$  будут:

$$\begin{aligned} d\Phi_d &= p_1^{cd} d\Phi_c + p_3^{cd} dp + p_4^{cd} da_{cb}, \\ d\lambda_d &= q_1^{cd} d\Phi_c + q_3^{cd} dp + q_4^{cd} da_{cb} + d\lambda_c, \\ da_{dc} &= r_1^{cd} d\Phi_c + r_3^{cd} dp + r_4^{cd} da_{cb}, \end{aligned} \quad (25)$$

так как

$$da_{cd} = da_{cb}.$$

Из формул (25), подставляя в них (23) и учитывая (24), находим

$$\begin{aligned}\frac{d\Phi_d}{dp} &= p_1^{cd} \frac{d\Phi_c}{dp} + p_3^{cd} + p_4^{cd} \frac{d\alpha_{cb}}{dp}, \\ \frac{d\lambda_d}{dp} &= q_1^{cd} \frac{d\Phi_c}{dp} + q_3^{cd} + q_4^{cd} \frac{d\alpha_{cb}}{dp} + \frac{d\lambda_c}{dp}, \\ \frac{d\alpha_{dc}}{dp} &= r_1^{cd} \frac{d\Phi_c}{dp} + r_3^{cd} + r_4^{cd} \frac{d\alpha_{cb}}{dp}.\end{aligned}\quad (26)$$

Поступая так же со всеми последующими пунктами, для точки  $n$  будем иметь

$$\begin{aligned}\frac{\partial\bar{\Phi}_n}{\partial p} &= p_1^{mn} \frac{\partial\bar{\Phi}_m}{\partial p} + p_3^{mn} + p_4^{mn} \frac{\partial\bar{\alpha}_{m,m-1}}{\partial p}, \\ \frac{\partial\bar{\lambda}_n}{\partial p} &= q_1^{mn} \frac{\partial\bar{\Phi}_m}{\partial p} + q_3^{mn} + q_4^{mn} \frac{\partial\bar{\alpha}_{m,m-1}}{\partial p} + \frac{\partial\bar{\lambda}_m}{\partial p}, \\ \frac{\partial\bar{\alpha}_{nm}}{\partial p} &= r_1^{mn} \frac{\partial\bar{\Phi}_m}{\partial p} + r_3^{mn} + r_4^{mn} \frac{\partial\bar{\alpha}_{m,m-1}}{\partial p}.\end{aligned}\quad (27)$$

**Вычисление производных  $\frac{\partial\bar{\Phi}_n}{\partial\beta_i}$ ,  $\frac{\partial\bar{\lambda}_n}{\partial\beta_i}$  и  $\frac{\partial\bar{\alpha}_{nm}}{\partial\beta_i}$**

Измеренные направления оказывают влияние на вычисленные координаты двумя путями: через азимуты и через длины сторон ходовой линии. В связи с этим значения производных по направлениям разделим на две части:

$$\begin{aligned}\frac{\partial\bar{\Phi}_n}{\partial\beta_i} &= \left( \frac{\partial\bar{\Phi}_n}{\partial\beta_i} \right)_1 + \left( \frac{\partial\bar{\Phi}_n}{\partial\beta_i} \right)_2, \\ \frac{\partial\bar{\lambda}_n}{\partial\beta_i} &= \left( \frac{\partial\bar{\lambda}_n}{\partial\beta_i} \right)_1 + \left( \frac{\partial\bar{\lambda}_n}{\partial\beta_i} \right)_2, \\ \frac{\partial\bar{\alpha}_{nm}}{\partial\beta_i} &= \left( \frac{\partial\bar{\alpha}_{nm}}{\partial\beta_i} \right)_1 + \left( \frac{\partial\bar{\alpha}_{nm}}{\partial\beta_i} \right)_2,\end{aligned}\quad (28)$$

где подстрочным индексом 1 обозначены значения искомых производных при условии, что ошибки в направлениях вызывают изменения только азимутов сторон ходовой линии, а индексом 2 отмечены значения производных, когда ошибки направлений вызывают изменения только длии сторон ходовой линии.

Азимуты сторон ходовой линии  $bcd\dots tn$  вычисляются по направлениям  $i=3, 4, 7, 8, 11, 12, \dots, 59, 60$ . Следовательно, только для этих

направлений и будут существовать производные  $\left( \frac{\partial\bar{\Phi}_n}{\partial\beta_i} \right)_1$ ,  $\left( \frac{\partial\bar{\lambda}_n}{\partial\beta_i} \right)_1$  и  $\left( \frac{\partial\bar{\alpha}_{nm}}{\partial\beta_i} \right)_1$ . Формулы для этих производных будут иметь такой же вид, как (22):

$$\begin{aligned}\left( \frac{\partial\bar{\Phi}_n}{\partial\beta_i} \right)_1 &= p_1^{mn} \left( \frac{\partial\bar{\Phi}_m}{\partial\beta_i} \right)_1 + p_4^{mn} \left( \frac{\partial\bar{\alpha}_{m,m-1}}{\partial\beta_i} \right)_1, \\ \left( \frac{\partial\bar{\lambda}_n}{\partial\beta_i} \right)_1 &= q_1^{mn} \left( \frac{\partial\bar{\Phi}_m}{\partial\beta_i} \right)_1 + q_4^{mn} \left( \frac{\partial\bar{\alpha}_{m,m-1}}{\partial\beta_i} \right)_1 + \left( \frac{\partial\bar{\lambda}_m}{\partial\beta_i} \right)_1, \\ \left( \frac{\partial\bar{\alpha}_{nm}}{\partial\beta_i} \right)_1 &= r_1^{mn} \left( \frac{\partial\bar{\Phi}_m}{\partial\beta_i} \right)_1 + r_4^{mn} \left( \frac{\partial\bar{\alpha}_{m,m-1}}{\partial\beta_i} \right)_1.\end{aligned}\quad (29)$$

Причем производные от четных направлений 4, 8, 12... равны по величине производным от нечетных, соответственно 3, 7, 11..., но противоположны по знаку.

В вычислении длин сторон ходовой линии участвуют все направления, кроме  $ba$  и  $tm$ . Для примера рассмотрим вычисление  $\left(\frac{\partial \bar{\Phi}_n}{\partial \beta_i}\right)_2$ ,  $\left(\frac{\partial \lambda_n}{\partial \beta_i}\right)_2$  и  $\left(\frac{\partial \alpha_{nm}}{\partial \beta_i}\right)_2$  по направлению  $ac$ , то есть  $i=1$ .

Так как длина стороны  $bc$  равна

$$p_{bc} = p \frac{\sin(2-1)}{\sin(9-8)},$$

то

$$\frac{dp_{bc}}{d\beta_1} = -p \frac{\cos(2-1)}{\sin(9-8)}.$$

В нашем случае

$$dp_{bc} \approx -30000 \frac{0,5}{0,9} \cdot \frac{d\beta_1}{p''} \approx -0,075 d\beta_1.$$

Изменение направления  $ac$  на  $d\beta_1$  окажет следующее влияние на координаты пункта  $c$ :

$$\begin{aligned} d\Phi_c &= -p_3^{bc} 0,075 d\beta_1, \\ d\lambda_c &= -q_3^{bc} 0,075 d\beta_1, \\ d\alpha_{cb} &= -r_3^{bc} 0,075 d\beta_1, \end{aligned} \tag{30}$$

и на координаты пункта  $d$ :

$$\begin{aligned} d\Phi_d &= -(p_1^{cd} p_3^{bc} + p_3^{cd} + p_4^{cd} r_3^{bc}) 0,075 d\beta_1, \\ d\lambda_d &= -(q_1^{cd} p_3^{bc} + q_3^{cd} + q_4^{cd} r_3^{bc} + q_3^{bc}) 0,075 d\beta_1, \\ d\alpha_{dc} &= -(r_1^{cd} p_3^{bc} + r_3^{cd} + r_4^{cd} r_3^{bc}) 0,075 d\beta_1. \end{aligned} \tag{31}$$

Так как на основании (30)

$$\begin{aligned} \frac{d\Phi_c}{d\beta_1} &= -0,075 p_3^{bc}, \\ \frac{d\lambda_c}{d\beta_1} &= -0,075 q_3^{bc}, \\ \frac{d\alpha_{cb}}{d\beta_1} &= -0,075 r_3^{bc}, \end{aligned} \tag{32}$$

то из (31) получаем

$$\begin{aligned} \frac{d\Phi_d}{d\beta_1} &= p_1^{cd} \frac{d\Phi_c}{d\beta_1} + p_3^{cd} + p_4^{cd} \frac{d\alpha_{cb}}{d\beta_1}, \\ \frac{d\lambda_d}{d\beta_1} &= q_1^{cd} \frac{d\Phi_c}{d\beta_1} + q_3^{cd} + q_4^{cd} \frac{d\alpha_{cb}}{d\beta_1} + \frac{d\lambda_c}{d\beta_1}, \\ \frac{d\alpha_{dc}}{d\beta_1} &= r_1^{cd} \frac{d\Phi_c}{d\beta_1} + r_3^{cd} + r_4^{cd} \frac{d\alpha_{cb}}{d\beta_1}. \end{aligned} \tag{33}$$

Подобным образом можем определить производные для остальных пунктов по всем направлениям. Они будут иметь такой же вид, как (27):

$$\begin{aligned}\left(\frac{\partial \bar{\Phi}_n}{\partial \beta_i}\right)_2 &= p_1^{mn} \left(\frac{\partial \bar{\Phi}_m}{\partial \beta_i}\right)_2 + p_3^{mn} + p_4^{mn} \left(\frac{\partial \bar{\alpha}_{m,m-1}}{\partial \beta_i}\right)_2, \\ \left(\frac{\partial \bar{\lambda}_n}{\partial \beta_i}\right)_2 &= q_1^{mn} \left(\frac{\partial \bar{\Phi}_m}{\partial \beta_i}\right)_2 + q_3^{mn} + q_4^{mn} \left(\frac{\partial \bar{\alpha}_{m,m-1}}{\partial \beta_i}\right)_2 + \left(\frac{\partial \bar{\lambda}_m}{\partial \beta_i}\right)_2, \\ \left(\frac{\partial \bar{\alpha}_{nm}}{\partial \beta_i}\right)_2 &= r_1^{mn} \left(\frac{\partial \bar{\Phi}_m}{\partial \beta_i}\right)_2 + r_3^{mn} + r_4^{mn} \left(\frac{\partial \bar{\alpha}_{m,m-1}}{\partial \beta_i}\right)_2.\end{aligned}\quad (34)$$

Из полученных выше формул производных  $\frac{\partial \bar{\Phi}_n}{\partial x}$ ,  $\frac{\partial \bar{\lambda}_n}{\partial x}$  и  $\frac{\partial \bar{\alpha}_{nm}}{\partial x}$  вытекает, что эти производные должны вычисляться последовательно по ходовой линии для всех пунктов звена, начиная от исходного.

В работе [3] были найдены значения фигурирующих в (13) производных  $\frac{\partial Q_n}{\partial x}$ , которые для наших целей имеют пренебрегаемые величины

$$\frac{\partial Q_n}{\partial x} = 0. \quad (35)$$

Рассмотрим производные  $\frac{\partial T_n}{\partial x}$ , где

$$T_n = f(\Phi_b, \lambda_b, \alpha_{ba}, p, \beta_i, \xi_b, \eta_b, N_i).$$

Для  $x \neq \xi_b, \eta_b, N_i$  производные  $\frac{\partial T_n}{\partial x}$  находятся подобно  $\frac{\partial Q_n}{\partial x}$ . При этом они имеют также пренебрегаемые для данного случая величины

$$\frac{\partial T_n}{\partial x} = 0 \quad \text{при } x \neq \xi_b, \eta_b, N_i. \quad (36)$$

Дифференцируя выражения для  $T_n$  по измеренной величине  $N_i$  имеем

$$\begin{aligned}\frac{\partial T_n^B}{\partial N_i} &= p_1^{mn} \frac{\partial T_m^B}{\partial N_i} + p_3^{mn} \frac{\partial l_{mn}}{\partial N_i} + p_4^{mn} \frac{\partial T_{m,m-1}^A}{\partial N_i}, \\ \frac{\partial T_n^L}{\partial N_i} &= q_1^{mn} \frac{\partial T_m^B}{\partial N_i} + q_3^{mn} \frac{\partial l_{mn}}{\partial N_i} + q_4^{mn} \frac{\partial T_{m,m-1}^A}{\partial N_i} + \frac{\partial T_m^L}{\partial N_i}, \\ \frac{\partial T_{nm}^A}{\partial N_i} &= r_1^{mn} \frac{\partial T_m^B}{\partial N_i} + r_3^{mn} \frac{\partial l_{mn}}{\partial N_i} + r_4^{mn} \frac{\partial T_{m,m-1}^A}{\partial N_i}.\end{aligned}\quad (37)$$

Так как

$$\frac{\partial l_{mn}}{\partial \xi_b} = \frac{\partial l_{mn}}{\partial \eta_b} = 0,$$

то формулы для вычисления производных  $\frac{\partial T_n}{\partial \xi_b}$  и  $\frac{\partial T_n}{\partial \eta_b}$  будут

$$\begin{aligned}\frac{\partial T_n^B}{\partial x} &= p_1^{mn} \frac{\partial T_m^B}{\partial x} + p_4^{mn} \frac{\partial T_{m, m-1}^A}{\partial x}, \\ \frac{\partial T_n^L}{\partial x} &= q_1^{mn} \frac{\partial T_m^B}{\partial x} + q_4^{mn} \frac{\partial T_{m, m-1}^A}{\partial x} + \frac{\partial T_m^L}{\partial x}, \\ \frac{\partial T_{nm}^A}{\partial x} &= r_1^{mn} \frac{\partial T_m^B}{\partial x} + r_4^{mn} \frac{\partial T_{m, m-1}^A}{\partial x},\end{aligned}\quad (38)$$

при  $x = \xi_b, \eta_b$ .

Как видно из формул (37) и (38), производные  $\frac{\partial T_n}{\partial x}$  также должны вычисляться последовательно для всех пунктов звена, начиная от пункта  $b$ . Причем, для исходного пункта имеем

$$\begin{aligned}\frac{\partial T_b^B}{\partial \xi_b} &= -1, \quad \frac{\partial T_b^L}{\partial \xi_b} = 0, \quad \frac{\partial T_{ba}^A}{\partial \xi_b} = 0, \\ \frac{\partial T_b^B}{\partial \eta_b} &= 0, \quad \frac{\partial T_b^L}{\partial \eta_b} = -\operatorname{sc} \Phi_b, \quad \frac{\partial T_{ba}^A}{\partial \eta_b} = -\operatorname{tg} \Phi_b.\end{aligned}\quad (39)$$

Значения частных производных, найденные по формулам (20), (22), (27) и (38), приведены в табл. 1. В результате вычислений, проделанных по (28), (38) и (13) было получено:

1) для отдельного звена, идущего вдоль меридiana,

$$\sum \left( \frac{\partial h_0^B}{\partial \beta_i} \right)^2 = 202024,68; \quad \sum \left( \frac{\partial h_0^B}{\partial N_i} \right)^2 = 0,56; \quad (40)$$

2) для отдельного звена, идущего вдоль параллели,

$$\sum \left( \frac{\partial h_0^L}{\partial \beta_i} \right)^2 = 6498,53; \quad \sum \left( \frac{\partial h_0^L}{\partial N_i} \right)^2 = 0,47; \quad (41)$$

3) для ряда триангуляции, расположенного вдоль параллели и состоящего из двух звеньев,

$$\sum \left( \frac{\partial h_0^L}{\partial \beta_i} \right)^2 = 14023,82; \quad \sum \left( \frac{\partial h_0^L}{\partial N_i} \right)^2 = 0,46; \quad (42)$$

4) для ряда триангуляции, расположенного вдоль параллели и состоящего из трех звеньев,

$$\sum \left( \frac{\partial h_0^L}{\partial \beta_i} \right)^2 = 19437,29; \quad \sum \left( \frac{\partial h_0^L}{\partial N_i} \right)^2 = 1,05. \quad (43)$$

Производные  $\frac{\partial h_0}{\partial x}$  при  $x = \phi_n, \lambda_n, \alpha_{nm}, \xi_n, \eta_n$  легко находятся непосредственно из дифференцирования уравнений (1) с учетом (14), (35) и (36). Их величины даны в графах 3, 5, 7 и 9 табл. 2, в которой сделан подсчет средней квадратической ошибки  $M_h$  определения постоянной  $h_0$  по материалам различно расположенных отдельных звеньев, а также по материалам ряда триангуляции, состоящего из различного количества звеньев.

Таблица 1

Результаты вычислений  $\frac{\partial \bar{\varphi}_n}{\partial x}$ ,  $\frac{\partial \bar{\lambda}_n}{\partial x}$  и  $Q_n$ 

Название величины	Звено вдоль меридиана	Ряд триангуляции вдоль параллели			Единица измерений
		1 звено	2 звена	3 звена	
$\frac{\partial \bar{\varphi}_n}{\partial \xi_b}$	+0,979	—	—	—	безразм.
$\frac{\partial \bar{\varphi}_n}{\partial \lambda_b}$	0	—	—	—	—
$\frac{\partial \bar{\varphi}_n}{\partial \alpha_{ba}}$	-0,149	—	—	—	—
$\frac{\partial \bar{\varphi}_n}{\partial p}$	+0,226	—	—	—	"/м
$\frac{\partial T_n}{\partial \xi_b}$	-0,979	-0,152	+0,304	+0,420	безразм.
$\frac{\partial T_n}{\partial \eta_b}$	+0,177	-1,571	+1,510	+1,468	—
$\frac{\partial \bar{\lambda}_n}{\partial \varphi_b}$	—	+0,152	+0,286	+0,430	—
$\frac{\partial \bar{\lambda}_n}{\partial \lambda_b}$	—	+1	+1	+1	—
$\frac{\partial \bar{\lambda}_n}{\partial \alpha_{ba}}$	—	+0,009	-0,042	-0,078	—
$\frac{\partial \bar{\lambda}_n}{\partial p}$	—	+0,379	+0,740	+1,111	"/м
$Q_n$	$-1,126 \cdot 10^{-1}$	$-1,885 \cdot 10^{-2}$	$-3,688 \cdot 10^{-3}$	$-5,538 \cdot 10^{-4}$	"/м

Полученные результаты показывают, что из рядов триангуляции, идущих по параллели, редукционная постоянная  $h_0$  получается несколько точнее, чем из меридиональных рядов. При этом точность определения  $h_0$  сильно зависит от длины ряда, так как с увеличением длины ряда возрастает коэффициент  $Q_n$ . Так, по материалам рядов триангуляции, состоящих из двух и трех звеньев,  $h_0$  определяется со средними квадратическими ошибками соответственно в два и в три раза меньшими, чем из отдельного звена.

Графы 4, 6, 8, 10 табл. 2 показывают, что наименьшее влияние на  $h_0$  имеет неточность определений высот геоида  $N_t$  в пунктах триангуляции.

Наибольшее влияние на  $h_0$  оказывают ошибки определений составляющих уклонений отвеса, а также астрономических широт (ряд вдоль меридиана) и долгот (ряд вдоль параллели). Если принять  $m_\xi = m_\eta = 0''', 5$ , то  $h_0$  будет определяться из отдельного широтного звена с точностью  $M_h = \pm 940$  м, а из долготного  $M_h = \pm 700$  м.

Но даже при той точности, с которой в настоящее время выполняются измерения в астрономо-геодезических сетях, можно по уравнениям (1), по-видимому, определить  $h_0$  с ошибкой порядка  $\pm 20$  м. Например, такая точность получается, если взять для определения постоянной  $h_0$  сто рядов длиной 2500 км каждый (то есть каждый ряд

Таблица 2

Ряд триангуляции вдоль параллели, состоящий

## Вычисление $M_h$

Ряд триангulationи вдоль параллели, состоящий

$m_x$	$x$	Звено расположено вдоль меридиана			из 1 звена			из 2 звеньев			из 3 звеньев		
		$\frac{\partial h_0^B}{\partial x} \left( \frac{\partial h_0^B}{\partial x} \right)^2 m_x^2$	$\frac{\partial h_0^L}{\partial x} \left( \frac{\partial h_0^L}{\partial x} \right)^2 m_x^2$	$\frac{\partial h_0^L}{\partial x} \left( \frac{\partial h_0^L}{\partial x} \right)^2 m_x^2$	$\frac{\partial h_0^L}{\partial x} \left( \frac{\partial h_0^L}{\partial x} \right)^2 m_x^2$	$\frac{\partial h_0^L}{\partial x} \left( \frac{\partial h_0^L}{\partial x} \right)^2 m_x^2$	$\frac{\partial h_0^L}{\partial x} \left( \frac{\partial h_0^L}{\partial x} \right)^2 m_x^2$	$\frac{\partial h_0^L}{\partial x} \left( \frac{\partial h_0^L}{\partial x} \right)^2 m_x^2$	$\frac{\partial h_0^L}{\partial x} \left( \frac{\partial h_0^L}{\partial x} \right)^2 m_x^2$	$\frac{\partial h_0^L}{\partial x} \left( \frac{\partial h_0^L}{\partial x} \right)^2 m_x^2$	$\left( \frac{\partial h_0^L}{\partial x} \right)^2 m_x^2$	$\left( \frac{\partial h_0^L}{\partial x} \right)^2 m_x^2$	
$\varphi_b$	0,5	+869,50	189 006,00	+ 80,57	1 623,06	+ 77,63	1 506,61	+ 77,74	+ 77,74	1 510,70			
$\lambda_b$	0,5	0	0	+530,50	70 358,62	+271,15	18 380,54	+180,57	+180,57	8 151,44			
$a_{ba}$	0,7	-132,41	8 590,46	+ 4,95	12,00	- 11,47	64,46	- 14,16	- 14,16	98,20			
$\varphi_n$	0,5	-888,13	197 191,99	+ 0,02	0	+ 0,01	0	+ 0,01	+ 0,01	0			
$\lambda_n$	0,5	0	0	-530,50	70 358,62	-271,15	18 380,54	-180,57	-180,57	8 151,44			
$\sigma_{nm}$	0,7	0	0	0	0	0	0	0	0	0			
$\xi_b$	1,5	-869,50	1 701 057,49	- 80,57	14 605,65	- 82,29	15 237,65	- 75,79	- 75,79	12 922,74			
$\eta_b$	1,5	+157,56	55 860,01	-833,48	1 563 038,62	-409,35	377 035,36	-264,99	-264,99	157 991,22			
$\xi_n$	1,5	-888,10	1 774 621,62	0	0	0	0	0	0	0			
$\eta_n$	1,5	0	0	+827,59	1 541 022,70	+422,99	402 577,88	+281,69	+281,69	178 535,95			
$p$	0,075 $M$	+200,83	226,87	+200,96	227,17	+200,65	226,47	+200,56	+200,56	226,26			
$m_p^2 \Sigma \left( \frac{\partial h_o}{\partial \beta_i} \right)^2$		0,7	-	98 992,09	-	6 871,67	-	—	—	9 524,27			
$m_p^2 \Sigma \left( \frac{\partial h_o}{\partial N_i} \right)^2$	3 $M$	-	5,04	-	4,23	4,14	-	—	—	9,45			
$M_h^2 = 3 264 434,95$										$M_h^2 = 840 285,32$			
$M_h = + 2 006 M$										$M_h = - 917 M$			
$M_h^2 = 4 025 551,57$										$M_h^2 = 377 121,67$			
$M_h = + 614 M$										$M_h = - 614 M$			

состоит из 10 звеньев), так как из одного такого ряда  $h_0$  можно определить с точностью, примерно,  $\pm 200$  м. Следовательно, мы пришли к такому же результату, что и Н. К. Мигаль в работе [6].

В заключение заметим, что при вычислении редукционной постоянной  $h_0$  по уравнениям (1) можно использовать ряды триангуляции, не связанные друг с другом.

## ЛИТЕРАТУРА

1. Дульцев А. Т. Определение редукционной постоянной  $h_0$ . Межведомственный республиканский научно-техн. сборник «Геодезия, картография и аэрофотосъемка», вып. 2. Изд-во Львовского ун-та, 1965.
  2. Дульцев А. Т. К определению редукционной постоянной  $h_0$ . Циркуляр Львовской астрономической обсерватории № 42. Изд-во Львовского ун-та, 1966.
  3. Дульцев А. Т. К оценке точности определения редукционной постоянной  $h_0$ . Циркуляр Львовской астрономической обсерватории № 42. Изд-во Львовского ун-та, 1966.
  4. Красовский Ф. Н. Избранные сочинения, т. IV. Геодезиздат, М., 1955.
  5. Мигаль Н. К. Теория совместного определения фигуры и размеров Земли. Научные записки Львовского политехнического института, серия геодезическая, № 1. Львов, 1949.
  6. Мигаль Н. К. Относительно точности определения редукционных постоянных, высот геоида и отклонений отвеса. Научные записки Львовского политехнического института, серия геодезическая, № 9. Львов, 1962.
-